

Новые перовскитные оксиды $\text{LaBaMCoO}_{5+\delta}$ ($M = \text{Fe}, \text{Cu}$): синтез, структура и свойства

© А.И. Клындюк

Белорусский государственный технологический университет,
Минск, Белоруссия

E-mail: kai@bstu.unibel.by, kai_17@rambler.ru

(Поступила в Редакцию 13 марта 2008 г.)

Синтезированы перовскиты $\text{LaBaMCoO}_{5+\delta}$ ($M = \text{Fe}, \text{Cu}$), определены параметры их кристаллической структуры, в интервале температур 300–1100 К изучены их термическая стабильность, термическое расширение, электросопротивление (ρ) и термоэдс (S). Соединения имеют кубическую структуру с параметром ячейки $a = 3.9085 \text{ \AA}$ для $M = \text{Fe}$ ($\delta = 0.97$) и $a = 3.9228 \text{ \AA}$ для $M = \text{Cu}$ ($\delta = 0.62$) и при комнатной температуре являются полупроводниками (n -типа для $M = \text{Fe}$ и p -типа для $M = \text{Cu}$). При повышенных температурах термоэдс, а также коэффициенты $\partial\rho/\partial T$ и $\partial S/\partial T$ этих фаз меняют знак, что вызвано выделением кислорода из образцов. На основании измерений магнитной восприимчивости сделано заключение о ферромагнитном упорядочении магнитных моментов катионов железа и кобальта в $\text{LaBaFeCoO}_{5.97}$ при температуре 168 К.

Работа выполнена при поддержке ГКПНИ „Кристаллические и молекулярные структуры“ (задание 33).

PACS: 61.50.Nw, 65.40.De, 72.20.Pa, 72.80.Jc

1. Введение

Кислороддефицитные перовскиты представляют собой ламеллярные оксиды со значительной корреляцией между структурой, магнитными, тепло- и электрофизическими свойствами. Сильное перекрывание $3d$ -электронных орбиталей катионов переходных металлов и $2p$ -орбиталей анионов кислорода играет ключевую роль в поведении этих оксидов, к которым относятся высокотемпературные сверхпроводники (ВТСП) типа $\text{LnBa}_2\text{Cu}_3\text{O}_{7-\delta}$ ($\text{Ln} = \text{PЗЭ}$) [1], магнеторезистивные манганиты $\text{LnBaMn}_2\text{O}_{6-\delta}$ [2,3] и кобальтиты $\text{LnBaCo}_2\text{O}_{5+\delta}$ [4,5], а также ферриты $\text{LnBaFe}_2\text{O}_{5+\delta}$ [6,7] и хромиты $\text{LnBaCr}_2\text{O}_{5+\delta}$ ($\text{Ln} = \text{Gd}$) [8].

В последнее время интенсивно исследуются слоистые перовскиты типа $\text{LnBaMe}'\text{Me}''\text{O}_{5+\delta}$, В-подрешетка которых в равной степени заполнена катионами различных $3d$ -переходных металлов (Me' , Me'' — Mn, Fe, Co, Ni, Cu). Первыми из соединений такого рода были изучены слоистые феррокупраты РЗЭ и бария $\text{LnBaCuFeO}_{5+\delta}$ [9–12] ввиду их структурной близости к ВТСП $\text{LnBa}_2\text{Cu}_3\text{O}_{7-\delta}$. В литературе описаны также слоистые купрокобальтиты $\text{LnBaCuCoO}_{5+\delta}$ ($\text{Ln} = \text{Y}$ [13,14], La [15,16]) и фаза YBaMnCoO_5 [17].

Кобальтиты представляют собой интерес ввиду того, что кобальт в них может находиться в различных спиновых состояниях, что обусловлено близостью величин энергии расщепления кристаллическим полем (Δ_{cf}) и энергии внутриаомного обменного взаимодействия (J_H) [15]. В кислороддефицитных перовскитах кобальт содержится преимущественно в виде катионов Co^{3+} , которые могут находиться в низко- (LS , $t_{2g}^6 e_g^0$, $S = 0$), промежуточно- (IS , $t_{2g}^5 e_g^1$, $S = 1$) и высокоспиновом состоянии (HS , $t_{2g}^4 e_g^2$, $S = 2$). При низких температурах энергетически более выгодными являются LS- и

IS-состояния, при повышении температуры могут происходить переходы $\text{LS} \rightarrow \text{IS}$, $\text{IS} \rightarrow \text{HS}$ [4,5,15]. Прототип серии $\text{LnBaCuCoO}_{5+\delta}$, соединение YBaCuCoO_5 имеет тетрагональную структуру (пр. гр. симм. $P4/mmm$) с параметрами $a = 3.8679(1)$, $c = 7.5674(2) \text{ \AA}$ [13] и является антиферромагнетиком, температура Нееля которого составляет 536 К [13], 515 К [14]. По данным [16], антиферромагнитное упорядочение магнитных моментов меди и кобальта в фазе $\text{LaBaCuCoO}_{5.6}$ наблюдается ниже 205 К.

В настоящей работе проведен синтез перовскитных оксидов $\text{LaBaMCoO}_{5+\delta}$ ($M = \text{Fe}, \text{Cu}$), определены параметры их кристаллической структуры, исследованы их термическая стабильность, термическое расширение, магнитная восприимчивость (для фазы $\text{LaBaFeCoO}_{5+\delta}$) и электрофизические свойства.

2. Методика эксперимента

Поликристаллические образцы $\text{LaBaMCoO}_{5+\delta}$ ($M = \text{Fe}, \text{Cu}$) синтезировали керамическим методом из оксидов La_2O_3 (хч), Fe_2O_3 (осч 2-4), CuO (осч 9-2), Co_3O_4 (чда) и карбоната бария BaCO_3 (ч) на воздухе при температурах 1173–1473 К для $M = \text{Fe}$ и 1173–1223 К для $M = \text{Cu}$ в течение 60 h [12]. Для получения образца с пониженным содержанием кислорода часть порошка $\text{LaBaFeCoO}_{5+\delta}$ дополнительно отжигали при 1073 К в течение 10 h в токе азота ($p(\text{O}_2) = 10^2 \text{ Pa}$), после чего медленно (со скоростью 2–6 К/min) охлаждали до комнатной температуры с печью, не отключая подачу газа. Для изучения термического расширения, электросопротивления и термоэдс из полученных порошков под давлением $(1-3) \cdot 10^3 \text{ kg/cm}^2$ прессовали таблетки диаметром 9 mm и толщиной 3–5 mm и бруски размером $5 \times 5 \times 30 \text{ mm}$, которые затем спекали

на воздухе при 1223 К ($M = \text{Cu}$) или 1473 К ($M = \text{Fe}$) в течение 5–10 ч.

Содержание в образцах кислорода ($5 + \delta$) определяли иодометрически с погрешностью $\Delta\delta = \pm 0.01$. Рентгенофазовый анализ (РФА) порошков проводили на дифрактометре Bruker D8 XRD ($\text{CuK}\alpha$ -излучение, Ni-фильтр). Инфракрасные спектры поглощения порошков записывали в таблетированных смесях с KBr (хч), содержащих $\approx 0.5\%$ вещества на Фурье-спектрометре Nexus фирмы ThermoNicolet в интервале частот 300–1500 cm^{-1} . Погрешность определения частот колебаний не превышала $\pm 2 \text{ cm}^{-1}$. Термическую стабильность порошков $\text{LaBaMCoO}_{5+\delta}$ ($M = \text{Fe, Cu}$) исследовали на термоанализаторе Mettler Toledo на воздухе в интервале температур 293–1073 К. Термическое расширение, электросопротивление (ρ) и термоэдс (S) поликристаллических образцов исследовали на воздухе в интервале температур 300–1100 К по методикам, описанным ранее [18] с точностью $\delta(\rho) \leq 5\%$, $\delta(S) \leq \pm 10\%$. Найденные экспериментально значения ρ керамики пересчитывали на нулевую пористость по методике [18,19]. Значения энергии активации электропроводности (E_A) и термоэдс (E_S) образцов находили из линейных участков зависимостей соответственно $\ln(\sigma \cdot T) = f(1/T)$ и $S = f(1/T)$ (коэффициент корреляции $R \geq 0.999$). Величины коэффициента линейного термического расширения (КЛТР, α) образцов рассчитывали из линейных участков зависимостей $\Delta l/l_0 = f(T)$ с погрешностью $\delta(\alpha) \leq \pm 5\%$. Магнитную восприимчивость $\text{LaBaFeCoO}_{5+\delta}$ определяли пondeромоторным методом в магнитном поле $H = 8.6 \text{ kOe}$ и диапазоне температур 77–950 К.¹

3. Результаты и их обсуждение

После заключительной стадии отжига на воздухе ($p(\text{O}_2) = 0.21 \cdot 10^5 \text{ Pa}$) образцы фаз $\text{LaBaMCoO}_{5+\delta}$ ($M = \text{Fe, Cu}$) были, в пределах погрешности РФА, однофазными (рис. 1) и имели кубическую структуру, а их рефлексы были проиндцированы в рамках пр.гр.симв. $Pm\bar{3}m$ с параметрами $a = 3.9085 \text{ \AA}$ для $\text{LaBaFeCoO}_{5.97}$ и $a = 3.9228 \text{ \AA}$ для $\text{LaBaCuCoO}_{5.62}$ (табл. 1). Различия в размерах элементарной ячейки образцов обусловлены как разницей в ионных радиусах Fe^{3+} и Cu^{2+} (по данным [20], $R_{\text{Fe}^{3+}} = 0.645 \text{ \AA}$, а $R_{\text{Cu}^{2+}} = 0.730 \text{ \AA}$ для к.ч.=6), так и меньшим содержанием кислорода в купрокобальтите лантана–бария. Структура $\text{LaBaFeCoO}_{5+\delta}$ при его восстановлении в азоте ($p(\text{O}_2) = 10^2 \text{ Pa}$) не изменялась, а параметр ячейки закономерно возрастал вследствие уменьшения δ (табл. 1). Величина коэффициента объемного химического расширения (КОХР, $\alpha_{\delta,V}$) фазы $\text{LaBaFeCoO}_{5+\delta}$, рассчитанная по формуле $\alpha_{\delta,V} = -(\frac{\partial \ln V}{\partial \delta})$ [21], составила $\alpha_{\delta,V} = 0.057$, что согласуется с величиной КХР феррокупрата $\text{LaBaCuFeO}_{5+\delta}$: $\alpha_{\delta,V} = 0.044$ в области

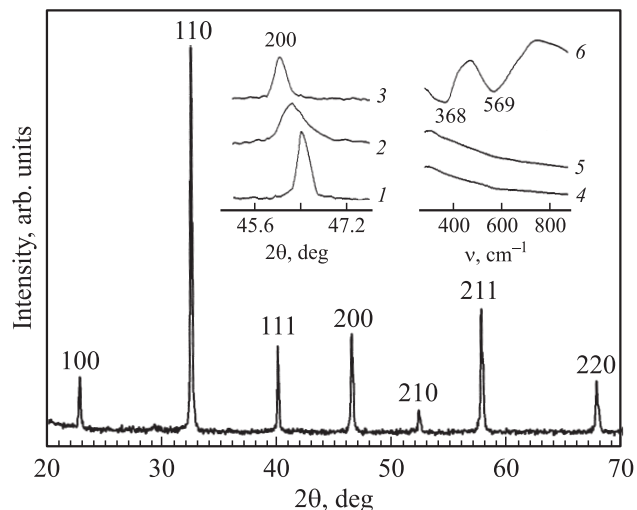


Рис. 1. Порошковая рентгенограмма фазы $\text{LaBaFeCoO}_{5.97}$. На вставках — рефлексы 200 (1–3) и ИК-спектры поглощения (4–6) для составов $\text{LaBaFeCoO}_{5.97}$ (1, 4), $\text{LaBaCuCoO}_{5.62}$ (2, 5) и $\text{LaBaFeCoO}_{5.53}$ (3, 6).

$0.00 < \delta < 0.25$ [21]. Рассчитанные по данным [15,16] значения параметра перовскитной ячейки (a_p) фаз $\text{LaBaCuCoO}_{5.61}$ [16], $\text{LaBaCuCoO}_{5.2}$ [15] составили соответственно $a_p = 3.9202 \text{ \AA}$ и $a_p = 3.9260 \text{ \AA}$, что хорошо согласуется с результатами настоящей работы (табл. 1).

Необходимо отметить, что в работах [15,16] с применением электронной микроскопии высокого разрешения [15] и нейтронографии [16] было обнаружено образование сверхструктур вследствие упорядочения кислородных вакансий в решетке купрокобальтита лантана–бария: $a = a_p$, $c \approx 5a_p$ (пр.гр.симв. $P4/mmm$) для $\delta = 0.20$ [15] и $a < b \approx a_p$, $c \approx 3a_p$ (пр.гр.симв. $Pnmm$) для $\delta = 0.61$ [16]. Тот факт, что мы не обнаружили упорядочения кислорода в структуре $\text{LaBaCuCoO}_{5+\delta}$, может быть обусловлен меньшей чувствительностью РФА по сравнению с нейтронографией, а также различиями в термической предыстории образцов.

ИК-спектры поглощения отожженных на воздухе фаз $\text{LaBaFeCoO}_{5.97}$ и $\text{LaBaCuCoO}_{5.62}$ носили диффузный характер со слабо выраженными максимумами поглощения вблизи 580 cm^{-1} , тогда как на спектре восстановленного феррокобальтита лантана–бария $\text{LaBaFeCoO}_{5.53}$ наблюдали две выраженных полосы поглощения с максимумами при 368 (ν_1) и 569 (ν_2) cm^{-1} (рис. 1), отвечающие деформационным (ν_1) и валентным колебаниям (ν_2)

Таблица 1. Параметры элементарных ячеек слоистых оксидов $\text{LaBaMCoO}_{5+\delta}$

Образец	$a, \text{ \AA}$	$V, \text{ \AA}^3$
$\text{LaBaFeCoO}_{5.97}$	3.9085 ± 0.0010	59.709 ± 0.047
$\text{LaBaFeCoO}_{5.53}$	3.9415 ± 0.0010	61.235 ± 0.048
$\text{LaBaCuCoO}_{5.62}$	3.9228 ± 0.0012	60.365 ± 0.059

¹ Измерения проведены С.С. Дорофейчиком (ОИФТТП НАНБ).

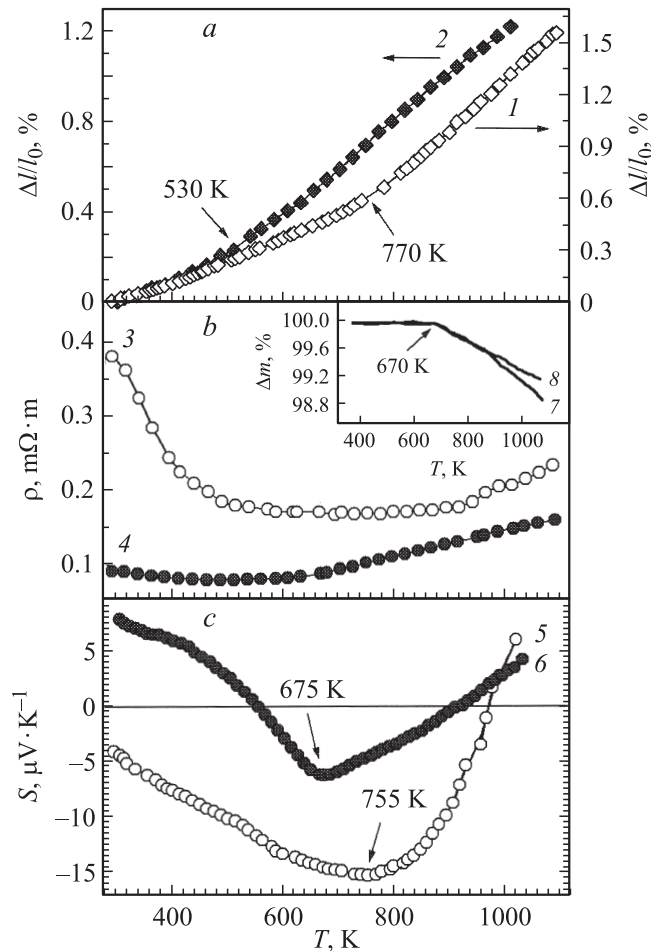


Рис. 2. Температурные зависимости относительного удлинения (а), электросопротивления ρ (b) и термоэдс S (c), а также термогравиметрические кривые на вставке фаз $\text{LaBaFeCoO}_{5+\delta}$ (1, 3, 5, 7), $\text{LaBaCuCoO}_{5+\delta}$ (2, 4, 6, 8).

связей $\text{Me}-\text{O}-\text{Me}$ ($\text{Me} = \text{Fe}, \text{Co}$) в структуре слоистого перовскита $\text{LaBaFeCoO}_{5+\delta}$ [12,22]. Отсутствие дополнительных полос поглощения указывает на изотропность связей $\text{Me}-\text{O}-\text{Me}$ ($\text{Me} = \text{Fe}, \text{Co}$) в структуре феррокобальтита $\text{LaBaFeCoO}_{5+\delta}$, что согласуется с выводами о кубической структуре этого соединения, сделанными на основании данных РФА.

На зависимостях $\Delta l/l_0 = f(T)$ для фаз $\text{LaBaMCoO}_{5+\delta}$ ($M = \text{Fe}, \text{Cu}$) наблюдалась аномалия в виде излома при $T^* = 530$ К ($M = \text{Cu}$) и 770 К ($M = \text{Fe}$) (рис. 2, а, табл. 2), сопровождающаяся увеличением КЛТР образцов в 2.2 и 1.6 раза для $M = \text{Fe}$ и $M = \text{Cu}$ соответственно (табл. 2). Согласно результатам термического анализа (вставка на рис. 2), выделение из образцов слабосвязанного кислорода (δ) начинается вблизи 670 К. Учитывая данные термогравиметрии, а также результаты [12,23], можно заключить, что наблюдаемый рост КЛТР образцов обусловлен возрастанием концентрации кислородных вакансий в кристаллической решетке этих фаз. Таким образом, при $T > T^*$ расширение образцов имеет

как термическую (рост ангармонизма колебаний), так и химическую (увеличение числа кислородных вакансий) природу.

Разделение термического (КЛТР, α_T) и химического (КЛХР, α_δ) вкладов в линейное расширение образцов было проведено по методике [23] с помощью соотношений $\alpha_T = \frac{1}{l_0} \left(\frac{\partial \Delta l}{\partial T} \right)_\delta$, $\alpha_\delta = -\frac{1}{l_0} \left(\frac{\partial \Delta l}{\partial \delta} \right)$. При этом мы полагали, что в первом приближении степень ангармонизма колебаний определяется только температурой и не зависит от количества кислородных вакансий в кристаллической решетке образцов. Значения КЛТР (α_T) и КЛХР (α_δ) фаз $\text{LaBaMCoO}_{5+\delta}$ ($M = \text{Fe}, \text{Cu}$) приведены в табл. 2. Как видно, для фазы $\text{LaBaFeCoO}_{5+\delta}$ выполняется соотношение $3\alpha_\delta \approx \alpha_{\delta,v}$, т. е. значения КХР этого оксида, определенные при помощи дилатометрии и РФА, хорошо согласуются между собой.

Как видно из рис. 2, b, соединения $\text{LaBaMCoO}_{5+\delta}$ ($M = \text{Fe}, \text{Cu}$) являются полупроводниками, характер электросопротивления которых при повышении температуры изменялся от полупроводникового ($\partial \rho / \partial T < 0$) к металлическому ($\partial \rho / \partial T > 0$), что объясняется термической диссоциацией этих фаз, на воздухе начинающейся при $T \approx 670$ К (вставка на рис. 2). При комнатной температуре знак коэффициента термоэдс (S) фаз $\text{LaBaMCoO}_{5+\delta}$ ($M = \text{Fe}, \text{Cu}$) был отрицательным для $M = \text{Fe}$ и положительным для $M = \text{Cu}$ (рис. 2, c), из чего можно заключить, что основными носителями заряда в феррокобальтите лантана–бария являются электроны, а в купрокобальтите — дырки. Величина коэффициента термоэдс $\text{LaBaMCoO}_{5+\delta}$ ($M = \text{Fe}, \text{Cu}$) начинала резко возрастать вблизи 755 и 675 К для $\text{Me} = \text{Fe}$ и $\text{Me} = \text{Cu}$ соответственно (рис. 2, c), что, как было указано выше, обусловлено выделением из керамики слабосвязанного кислорода.

Для веществ с поляронным характером переноса заряда температурные зависимости электропроводности и термоэдс описываются соотношениями $\sigma = \frac{A}{T} \exp(-E_A/k \cdot T)$ и $S = \frac{k}{e} (-E_S/k \cdot T + B)$, где $E_A = (E_S + E_m)$ и E_S — соответственно энергии активации электропроводности и термоэдс [24]. Величины E_S и E_m соответствуют энергии возбуждения и переноса полярона (при безактивационном переносе заряда поля-

Таблица 2. Значения КЛТР (α) и энергий активации процессов электропереноса (E_A , E_S , E_m) перовскитных оксидов $\text{LaBaMCoO}_{5+\delta}$

Образец		$\text{LaBaFeCoO}_{5+\delta}$	$\text{LaBaCuCoO}_{5+\delta}$
$\alpha \cdot 10^5, \text{K}^{-1}$	300 – T^*	1.35	1.26
	$T^* - 1100$	3.02	2.03
T^*, K		770	530
$\alpha_T \cdot 10^5, \text{K}^{-1}$		1.32	1.15
	$\alpha_\delta \cdot 10^3$	17.3	15.7
E_A, eV		0.087	0.042
E_S, eV		0.006	0.021
E_m, eV		0.081	0.021

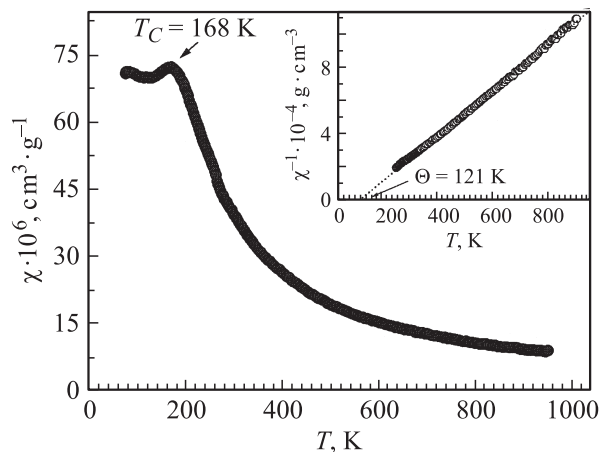


Рис. 3. Температурная зависимость магнитной восприимчивости χ феррокобальтита $\text{LaBaFeCoO}_{5+\delta}$. На вставке — зависимость $1/\chi = f(T)$ для $\text{LaBaFeCoO}_{5+\delta}$ в области выполнения закона Кюри–Вейсса.

ризации большого радиуса $E_m \approx 0$; при $E_m > 0$ перенос заряда термически активирован и осуществляется поляронами малого радиуса по прыжковому механизму).

Значения параметров E_A , E_S и E_m исследованных оксидов, рассчитанные из линейных участков зависимостей $\ln(\rho/T) = f(1/T)$, $S = f(1/T)$ ($T < 670 \text{ K}$, $\delta \approx \text{const}$), приведены в табл. 2. Как видно, энергия возбуждения носителя заряда (E_S) в $\text{LaBaFeCoO}_{5+\delta}$ значительно меньше, а энергия его переноса (E_m) — больше, чем в $\text{LaBaCuCoO}_{5+\delta}$, из чего можно заключить, что перенос заряда между ионами меди и кобальта в $\text{LaBaCuCoO}_{5+\delta}$ менее затруднен энергетически, чем между разнозаряженными ионами кобальта в $\text{LaBaFeCoO}_{5+\delta}$.²

На зависимости $\chi = f(T)$ для фазы $\text{LaBaFeCoO}_{5+\delta}$ наблюдается максимум при $T_f = 168 \text{ K}$ (рис. 3), обусловленный переходом порядок–беспорядок в подсистеме катионов $3d$ -металлов. В области температур $250\text{--}900 \text{ K}$ зависимость $1/\chi = f(T)$ для феррокобальтита лантана–бария подчиняется закону Кюри–Вейсса $\chi = \frac{C}{T-\Theta}$, константа Кюри (C) в котором составляет $3.535 \text{ cm}^{-3} \cdot \text{K} \cdot \text{mol}^{-1}$, а парамагнитная точка Кюри (эффективная температура, Θ) составляет 121 K (рис. 3). Тот факт, что $\Theta > 0$, указывает на ферромагнитный характер упорядочения магнитных моментов катионов железа и кобальта в $\text{LaBaFeCoO}_{5+\delta}$ (что также косвенно подтверждается близостью величин T_C и Θ). Эффективный парамагнитный момент ($p_{\text{eff}}^{\text{exp}}$), приходящийся на формульную единицу $\text{LaBaFeCoO}_{5.97}$, рассчитанный из константы Кюри (C) по формуле $p_{\text{eff}}^{\text{exp}} = \sqrt{\frac{3Ck_B}{N_A \mu_B^2}}$, где k_B — константа Больцмана, N_A — число Авогадро, μ_B — магнетон Бора, составил $5.32 \mu_B$. Теоретическое зна-

чение $p_{\text{eff}}^{\text{teor}}$, найденное из соотношения $p_{\text{eff}}^{\text{teor}} = \sqrt{\sum_i \mu_i^2}$, где μ_i — магнитный момент катиона i -й магнитной подсистемы, $\mu_i = \sqrt{n(n+2)} \cdot \mu_B$, n — среднее число неспаренных электронов у магнитного катиона ($n = 5$ для $\text{Fe}_{\text{HS}}^{3+}$ и $\text{Co}_{\text{HS}}^{4+}$ и 4 для $\text{Co}_{\text{HS}}^{3+}$) составило $7.68 \mu_B$. Тот факт, что $p_{\text{eff}}^{\text{exp}} < p_{\text{eff}}^{\text{teor}}$ (на 30%), может быть обусловлен высокой степенью ковалентности связей железа (кобальт)–кислород в структуре $\text{LaBaCuFeO}_{5+\delta}$, а также тем, что часть катионов кобальта в этой фазе находится не в HS-, а в IS- или даже LS-состоянии.

4. Заключение

В работе синтезированы перовскитные оксиды $\text{LaBaMCoO}_{5+\delta}$ ($M = \text{Fe, Cu}$), определены параметры их кристаллической структуры, изучены их термическая стабильность, термическое расширение и электрофизические свойства. Соединения кристаллизуются в кубической сингонии с параметром ячейки $a = 3.9085 \text{ \AA}$ для $\text{LaBaFeCoO}_{5.97}$ и $a = 3.9228 \text{ \AA}$ для $\text{LaBaCuCoO}_{5.62}$ и при комнатной температуре являются полупроводниками (n -типа для $M = \text{Fe}$ и p -типа для $M = \text{Cu}$). При повышении температуры термоэдс, а также температурные коэффициенты термоэдс и электросопротивления меняют знак, что обусловлено выделением кислорода из образцов. Определены параметры электропереноса в этих фазах, выделены термический и химический вклады в их расширение при повышенных температурах. Результаты измерений магнитной восприимчивости указывают на ферромагнитное упорядочение магнитных моментов железа и кобальта в $\text{LaBaFeCoO}_{5.97}$ при $T_C = 168 \text{ K}$.

Список литературы

- [1] Г.П. Швейкин, В.А. Губанов, А.А. Фотиев, В.А. Евдокимов. Электронная структура и физико-химические свойства высокотемпературных сверхпроводников. Наука, М. (1990). 240 с.
- [2] T.P. Beales, M. Möllg, J. Jutson, C.M. Friend. Phys. Status Solidi A **161**, 271 (1997).
- [3] S.V. Trukhanov, L.S. Lobanowski, M.V. Bushinski, V.V. Fedotova, I.O. Troyanchuk, A.V. Trukhanov, V.A. Ryzhov, H. Szymczak, R. Szymczak, M. Baran. J. Phys.: Cond. Matter **17**, 6495 (2005).
- [4] P.S. Anderson, C.A. Kirk, J. Knudsen, I.M. Reaney, A.R. West. Solid State Sci **7**, 1149 (2005).
- [5] A.A. Taskin, A.N. Lavrov, Y. Ando. Phys. Rev. B **73**, 121 101 (2006).
- [6] P. Karen, P.M. Woodward. J. Mater. Chem. **9**, 789 (1999).
- [7] P. Karen. P. J. Solis State Chem. **177**, 281 (2004).
- [8] С.Ж. Давренбеков, С.Т. Едилбаева, Б.К. Касенов, Е.С. Муштафин, Е.К. Жумадилов, Ш.Б. Касенова. ЖНХ **50**, 577 (2005).
- [9] L. Er-Rakho, C. Michel. Ph. LaCorre, B. Raveau. J. Solid State Chem. **73**, 531 (1988).

² Согласно данным иодометрии, кобальт в $\text{LaBaFeCoO}_{5.97}$ и $\text{LaBaCuCoO}_{5.62}$ находится в виде Co^{3+} и Co^{4+} (медь в $\text{LaBaCuCoO}_{5.62}$ — в виде Cu^{3+}).

- [10] H. Pardo, W.A. Ortiz, F.M. Araujo-Moreira, L. Suescun, B. Toby, E. Quagliata, C.A. Negreira, K. Prassides, A.W. Momburu. *Physica C* **313**, 105 (1999).
- [11] J. Linden, M. Kochi, K. Lehmus, T. Pietari, M. Karppinen, H. Yamauchi. *J. Solid State Chem.* **166**, 118 (2002).
- [12] А.И. Клындюк, Е.А. Чиждова. *Неорган. материалы* **42**, 611 (2006).
- [13] Q. Huang, P. Karen, V.L. Karen, A. Kjekshus, J.W. Lynn, A.D. Mighell, I. Natali Sora, N. Rosov, A. Santoro. *J. Solid State Chem.* **108**, 80 (1994).
- [14] L. Barbey, N. Nguyen, V. Caignaert, F. Studer, B. Raveau. *J. Solid State Chem.* **112**, 148 (1994).
- [15] L. Ruiz-Gonzalez, K. Boulahya, M. Parras, J. Alonso, J.M. Gonzalez-Calbet. *Chem. Eur. J.* **8**, 5694 (2002).
- [16] L. Suescun, C.Y. Jones, C.A. Cardoso, J.W. Lynn, B.H. Toby, F.M. Araujo-Moreira, O.F. de Lima, H. Pardo, A.W. Momburu. *Phys. Rev. B* **71**, 144 405 (2005).
- [17] P. Karen, E. Suard, F. Fauth, P.M. Woodward. *Solid State Sci.* **6**, 1195 (2004).
- [18] Е.А. Чиждова, А.И. Клындюк. *Весті НАН Беларусі. Сер. хім. навук* **4**, 11 (2007).
- [19] A.K. Tripathi, H.B. Lal. *Mater. Res. Bull.* **15**, 233 (1980).
- [20] R.D. Shannon, C.T. Prewitt. *Acta Cryst. B* **25**, 946 (1969).
- [21] А.И. Клындюк, Е.А. Чиждова. *Физ. и хим. стекла.* **34**, 410 (2008).
- [22] Y.K. Atanassova, V.N. Popov, G.G. Bogachev, M.N. Iliev, C. Mitros, V. Psycharis, M. Pissas. *Phys. Rev. B* **47**, 15 201 (1993).
- [23] А.И. Клындюк. *ЖНХ* **52**, 1436 (2007).
- [24] Н. Мотт, Э. Дэвис. *Электронные процессы в некристаллических веществах.* Мир, М. (1982). 368 с.